

Projekt charakterystyki energetycznej do projektu budowlanego

Nazwa zamierzenia budowlanego:	PRZEBUDOWA WNĘTRZA BUDYNKU UŻYTECZNOŚCI PUBLICZNEJ WRAZ Z INFRASTRUKTURĄ TECHNICZNĄ „MODERNIZACJA BUDYNKU PRZY UL. 3 MAJA 18 W NOWYCH SKALMIERZYCACH Z PRZEZNACZENIEM NA DZIAŁALNOŚĆ Z ZAKRESU PROFILAKTYKI I ROZWIĄZYWANIA PROBLEMÓW UZALEŻNIEŃ”	
Adres:	ul. 3 Maja 18, 63-460 Nowe Skalmierzyce 301702_4.0001.108/3, 301702_4.0001.110/2	
Kategoria obiektu budowlanego:	Kategoria XI – Budynek poradni	
Inwestor:	GMINA I MIASTO NOWE SKALMIERZYCE ul. Ostrowska 8, 63-460 Nowe Skalmierzyce	
Jednostka projektowa:	DASTORE Sp. z o.o. ul. W. Majakowskiego 22, 63-400 Ostrów Wielkopolski	
Projektant:	mgr inż. Marcin Domagała MI/ŚE/644/2009	
Ostrów Wlkp. 2023 r.		

Spis treści:

- 1) Tabela zbiorcza przegród budowlanych użytych w projekcie
- 2) Sprawdzenie warunku uniknięcia rozwoju pleśni
- 3) Tabela zbiorcza sezonowego zapotrzebowania na ciepło $Q_{H,nd}$ dla każdej strefy
- 4) Tabela zbiorcza sezonowego zapotrzebowania na ciepłą wodę $Q_{W,nd}$
- 5) Tabela zbiorcza sezonowego zapotrzebowania na chłód $Q_{C,nd}$ dla każdej strefy
- 6) Tabela zbiorcza sprawności systemu ogrzewania i wentylacji
- 7) Tabela zbiorcza sprawności systemu przygotowania ciepłej wody
- 8) Tabela zbiorcza sprawności systemu chłodzenia
- 9) Tabela zbiorcza sprawności systemu oświetlenia
- 10) Tabela zbiorcza wyników energii użytkowej, końcowej i pierwotnej
- 11) Wyliczenia dla budynku wielofunkcyjnego
- 12) Sprawdzenie warunków granicznych wg WT2021
- 13) Bilans mocy

Podstawa prawna:

- Rozporządzenie Ministra Rozwoju z dnia 11 września 2020 r. w sprawie szczegółowego zakresu i formy projektu budowlanego (Dz. U. 2020 poz. 1609)
- Rozporządzenie Ministra Rozwoju, Pracy i Technologii z dnia 25 czerwca 2021 r. zmieniające rozporządzenie w sprawie szczegółowego zakresu i formy projektu budowlanego (Dz. U. 2021 poz. 1169)
- Obwieszczenie Ministra Inwestycji i Rozwoju z dnia 8 kwietnia 2019 r. w sprawie ogłoszenia jednolitego tekstu rozporządzenia Ministra Infrastruktury w sprawie warunków technicznych, jakim powinny odpowiadać budynki i ich usytuowanie (Dz. U. 2019 poz. 1065)

1) Tabela zbiorcza przegród budowlanych użytych w projekcie

Parametry przegród nieprzezroczystych budowlanych					
I. Przegrody ściany zewnętrzne					
Lp.	Nazwa przegrody	Symbol	Wsp. U_c [W/m ² ·K]	Wsp. U_c wg WT2021 [W/m ² ·K]	Warunek spełniony
1	Ściana zewnętrzna istniejąca	SZ 1	1,06	0,20	Nie
II. Przegrody ściany na gruncie					
Lp.	Nazwa przegrody	Symbol	Wsp. U_c [W/m ² ·K]	Wsp. U_c wg WT2021 [W/m ² ·K]	Warunek spełniony
1	Ściana na gruncie	SG 1	0,22	Brak wymagań	Nie dotyczy
III. Przegrody dach					
Lp.	Nazwa przegrody	Symbol	Wsp. U_c [W/m ² ·K]	Wsp. U_c wg WT2021 [W/m ² ·K]	Warunek spełniony
1	Dach	D 1 - Stropodach	0,11	0,15	Tak
IV. Przegrody podłogi na gruncie					
Lp.	Nazwa przegrody	Symbol	Wsp. U_c [W/m ² ·K]	Wsp. U_c wg WT2021 [W/m ² ·K]	Warunek spełniony
1	Podłoga na gruncie	PG 1	0,11	0,30	Tak
2	Podłoga na gruncie	PG 2 - Piwnica	0,22	1,20	Tak
V. Przegrody ściany wewnętrzne					
Lp.	Nazwa przegrody	Symbol	Wsp. U_c [W/m ² ·K]	Wsp. U_c wg WT2021 [W/m ² ·K]	Warunek spełniony
1	Ściana wewnętrzna	SW 1	0,29	0,30	Tak
VI. Przegrody stropy wewnętrzne					
Lp.	Nazwa przegrody	Symbol	Wsp. U_c [W/m ² ·K]	Wsp. U_c wg WT2021 [W/m ² ·K]	Warunek spełniony
1	Strop wewnętrzny istniejący	STW 1 - nad piwnicą	0,71	0,25	Nie
2	Strop wewnętrzny istniejący	STW 2 - Pod poddaszem - nieużytkowym	0,27	0,15	Nie
3	Strop wewnętrzny modernizowany	STW 3-nad poddaszem	0,11	0,15	Tak

VII. Przegrody drzwi zewnętrzne					
Lp.	Nazwa przegrody	Symbol	Wsp. U_c [W/m ² ·K]	Wsp. U_c wg WT2021 [W/m ² ·K]	Warunek spełniony
1	Drzwi zewnętrzne	DZ 1	1,30	1,30	Tak

Parametry przegród przezroczystych

VIII. Okna zewnętrzne								
Lp.	Nazwa przegrody	Symbol	Wsp. U [W/m ² K]	Wsp. g	Wsp. U wg WT2021 [W/m ² ·K]	Wsp. g wg WT2021	Warunek spełniony	
							U_{max}	g
1	Okno zewnętrzne	OZ 1	0,90	0,75	0,90	0,35	Tak	Nie dotyczy

IX. Okno zewnętrzne połaciowe								
Lp.	Nazwa przegrody	Symbol	Wsp. U [W/m ² K]	Wsp. g	Wsp. U wg WT2021 [W/m ² ·K]	Wsp. g wg WT2021	Warunek spełniony	
							U_{max}	g
1	Okno połaciowe	OPZ 1	1,10	0,35	1,10	0,35	Tak	Tak

2) Sprawdzenie warunku uniknięcia rozwoju pleśni

2.1.1 Wartości obliczeniowego czynnika temperatury $f_{Rsi,min}$ dla przegród zewnętrznych

Wartości obliczeniowego czynnika temperatury $f_{Rsi,min}$ dla przegród: SZ 1, D 1 - Stropodach

	Miesiąc	$f_{Rsi,min}$
1	Styczeń	0,714
2	Luty	0,720
3	Marzec	0,673
4	Kwiecień	0,549
5	Maj	0,190
6	Czerwiec	-0,848
7	Lipiec	-1,688
8	Sierpień	-1,366
9	Wrzesień	0,046
10	Październik	0,486
11	Listopad	0,673
12	Grudzień	0,716

Miesiąc krytyczny: Luty

Wartość czynnika temperatury dla krytycznego miesiąca: $f_{Rsi,max}=0,72$

2.1.2 Wartości obliczeniowego czynnika temperatury $f_{Rsi,min}$ dla przegród stykających się z gruntem

Wartości obliczeniowego czynnika temperatury $f_{Rsi,min}$ dla przegród: PG 1, SG 1, PG 2 - Piwnica

	Miesiąc	$f_{Rsi,min}$
1	Styczeń	0,844
2	Luty	0,844
3	Marzec	0,844
4	Kwiecień	0,844
5	Maj	0,844
6	Czerwiec	0,844
7	Lipiec	0,844
8	Sierpień	0,844
9	Wrzesień	0,844
10	Październik	0,844
11	Listopad	0,844
12	Grudzień	0,844

Miesiąc krytyczny: Styczeń, Luty, Marzec, Kwiecień, Maj, Czerwiec, Lipiec, Sierpień, Wrzesień, Październik, Listopad, Grudzień

Wartość czynnika temperatury dla krytycznego miesiąca: $f_{Rsi,max}=0,84$

2.2 Efektywna wartość czynnika temperatury na powierzchni wewnętrznej przegrody wyznaczona na podstawie wartości współczynnika przenikania ciepła elementu U oraz oporu przejmowania ciepła na powierzchni wewnętrznej R_{si} dla poszczególnych przegród.

	Nazwa przegrody	Symbol	U [W/(m ² ·K)]	f_{Rsi}	$f_{Rsi} > f_{Rsi,max}$	Warunek
1	Ściana zewnętrzna	SZ 1	1,06	0,863	0,863 > 0,720	Spełniony
2	Podłoga na gruncie	PG 1	0,11	0,980	0,980 > 0,844	Spełniony
3	Dach	D 1 - Stropodach	0,11	0,986	0,986 > 0,720	Spełniony
4	Ściana na gruncie	SG 1	0,22	0,965	0,965 > 0,844	Spełniony
5	Podłoga na gruncie	PG 2 - Piwnica	0,22	0,948	0,948 > 0,844	Spełniony

3) Tabela zbiorcza sezonowego zapotrzebowania na ciepło $Q_{H,nd}$ dla każdej strefy

Obliczenia zbiorcze dla strefy Strefa O1												
Temperatura wewnętrzna strefy									θ_i	20,0	°C	
Pole powierzchni pomieszczeń o regulowanej temperaturze									A_f	274,1	m²	
Obciążenia cieplne pomieszczeń zyskami wewnętrznymi									q_{int}	3,1	W/m²	
Pojemność cieplna budynku									C_m	45219900	J/K	
Stała czasowa budynku									τ	35,6	h	
Udział granicznych potrzeb ciepła									$V_{H,lim}$	1,3	-	
-									a_H	3,4	-	
Obliczenia miesięcznego zapotrzebowania na energię do ogrzewania i wentylacji $Q_{H,nd,n}$ kWh/m-c												
Miesiąc	I	II	III	IV	V	VI	VII	VIII	IX	X	XI	XII
Średnia temperatura zewnętrzna θ_e , °C	-0,7	-1,1	1,9	6,9	12,7	16,8	17,8	17,5	13,8	8,5	1,9	-0,8
Liczba godzin w miesiącu t_m , h	744	672	744	720	744	720	744	744	720	744	720	744
Miesięczna strata ciepła przez przenikanie $Q_{H,tr}=10^{-3} \cdot H_{tr} \cdot (\theta_i - \theta_e) \cdot t_m$ kWh/m-c	4523	4164	3955	2770	1595	677	481	546	1311	2513	3827	4545
Miesięczna strata ciepła przez przenikanie z strefami ogrzewanymi $Q_{H,zy}=10^{-3} \cdot H_{zy} \cdot (\theta_i - \theta_{i,yz}) \cdot t_m$ kWh/m-c	40,0 4	36,1 6	40,0 4	38,7 5	40,0 4	38,7 5	40,0 4	40,0 4	38,7 5	40,0 4	38,7 5	40,0 4
Miesięczna strata ciepła przez przenikanie $Q_{H,ht}=Q_{H,t}+Q_{H,zy}$ kWh/m-c	4563	4201	3995	2809	1635	715	521	586	1350	2553	3866	4585
Miesięczne zyski ciepła od nasłonecznienia Q_{sol} , kWh/m-c	277	441	768	1076	1389	1529	1478	1297	865	559	327	269
Miesięczne wewnętrzne zyski ciepła $Q_{int}=q_{int} \cdot 10^{-3} \cdot A_f \cdot t_m$ kWh/m-c	632	571	632	612	632	612	632	632	612	632	612	632
Miesięczne zyski ciepła $Q_{H,gn}=Q_{sol}+Q_{int}$ kWh/m-c	909	1012	1400	1688	2021	2141	2110	1929	1476	1191	939	901
$\gamma_H=Q_{H,gn}/Q_{H,ht}$	0,17	0,20	0,29	0,51	1,05	2,63	3,65	2,94	0,94	0,39	0,20	0,16
$\gamma_{H,1}$	0,17	0,18	0,25	0,40	0,78	0,00	0,00	0,00	0,67	0,30	0,18	0,17
$\gamma_{H,2}$	0,18	0,25	0,40	0,78	1,84	0,00	0,00	0,00	1,94	0,67	0,30	0,18
$f_{H,m}$	1,00	1,00	1,00	1,00	0,65	0,00	0,00	0,00	0,68	1,00	1,00	1,00
Współczynnik wykorzystania zysków ciepła, $\eta_{H,gn}$	1,00	1,00	0,99	0,95	0,75	0,37	0,27	0,33	0,80	0,97	1,00	1,00
Miesięczne zapotrzebowanie na energię $Q_{H,nd,n}=Q_{H,ht} - \eta_{H,gn} \cdot Q_{H,gn}$ kWh/m-c	4529 ,35	3996 ,73	3369 ,43	1729 ,96	400, 32	19,5 7	5,34	11,5 3	400, 87	1860 ,77	3664 ,82	4562 ,96

Całkowita ilość ciepła przenoszonego ze strefy ogrzewanej przez wentylację w miesiącu $Q_{v,e}=10^{-3} \cdot H_{ve} \cdot (\theta_i - \theta_e) \cdot t_M$ kWh/m-c	913	841	798	559	322	137	97	110	265	507	773	917
Całkowita ilość ciepła przenoszonego ze strefy ogrzewanej w miesiącu $Q_{ht}=Q_{tr} + Q_{v,e}$ kWh/m-c	5436	5005	4753	3329	1917	813	578	657	1576	3020	4600	5462
Roczne zapotrzebowanie na energię użytkową dla ogrzewania i wentylacji $Q_{H,nd}=\Sigma(Q_{H,nd,n})$, kWh/rok											24551,6	

Obliczenia zbiorcze dla strefy Strefa O2												
Temperatura wewnętrzna strefy									θ_i	12,0	°C	
Pole powierzchni pomieszczeń o regulowanej temperaturze									A_f	45,1	m²	
Obciążenia cieplne pomieszczeń zyskami wewnętrznymi									q_{int}	3,1	W/m²	
Pojemność cieplna budynku									C_m	7441500	J/K	
Stała czasowa budynku									τ	59,7	h	
Udział granicznych potrzeb ciepła									$\gamma_{H,lim}$	1,2	-	
-									a_H	5,0	-	
Obliczenia miesięcznego zapotrzebowania na energię do ogrzewania i wentylacji $Q_{H,nd,n}$ kWh/m-c												
Miesiąc	I	II	III	IV	V	VI	VII	VIII	IX	X	XI	XII
Średnia temperatura zewnętrzna θ_e , °C	-0,7	-1,1	1,9	6,9	12,7	16,8	17,8	17,5	13,8	8,5	1,9	-0,8
Liczba godzin w miesiącu t_m , h	744	672	744	720	744	720	744	744	720	744	720	744
Miesięczna strata ciepła przez przenikanie $Q_{H,tr}=10^{-3} \cdot H_{tr} \cdot (\theta_i - \theta_e) \cdot t_m$ kWh/m-c	195	181	165	103	39	-9	-21	-18	25	88	160	197
Miesięczna strata ciepła przez przenikanie z strefami ogrzewanymi $Q_{H,zy}=10^{-3} \cdot H_{zy} \cdot (\theta_i - \theta_{i,yz}) \cdot t_m$ kWh/m-c	25,3 6	22,9 0	25,3 6	24,5 4	25,3 6	24,5 4	25,3 6	25,3 6	24,5 4	25,3 6	24,5 4	25,3 6
Miesięczna strata ciepła przez przenikanie $Q_{H,ht}=Q_{H,t}+Q_{H,zy}$ kWh/m-c	221	204	190	128	64	15	4	8	49	113	184	222
Miesięczne zyski ciepła od nasłonecznienia Q_{sol} , kWh/m-c	14	21	39	59	72	83	78	68	45	29	16	13
Miesięczne wewnętrzne zyski ciepła $Q_{int}=q_{int} \cdot 10^{-3} \cdot A_f \cdot t_m$ kWh/m-c	104	94	104	101	104	101	104	104	101	104	101	104
Miesięczne zyski ciepła $Q_{H,gn}=Q_{sol}+Q_{int}$ kWh/m-c	118	115	143	159	176	184	182	172	146	133	117	117
$\gamma_H=Q_{H,gn}/Q_{H,ht}$	0,36	0,38	0,55	1,25	-9,76	-1,54	-1,22	-1,21	-3,25	1,48	0,46	0,35
$\gamma_{H,1}$	0,36	0,37	0,46	0,90	1,25	0,00	0,00	0,00	1,36	0,97	0,41	0,36

$\gamma_{H,2}$	0,37	0,46	0,90	1,25	1,25	0,00	0,00	0,00	1,48	1,48	0,97	0,41
$f_{H,m}$	1,00	1,00	1,00	0,43	0,00	0,00	0,00	0,00	0,00	0,23	1,00	1,00
Współczynnik wykorzystania zysków ciepła, $\eta_{H,gn}$	1,00	1,00	0,98	0,73	-0,10	-0,65	-0,82	-0,82	-0,31	0,64	0,99	1,00
Miesięczne zapotrzebowanie na energię $Q_{H,nd,n}=Q_{H,ht} - \eta_{H,gn} \cdot Q_{H,gn}$ kWh/m-c	210,13	190,36	120,65	11,30	0,00	0,00	0,00	0,00	0,00	4,62	136,60	213,15
Całkowita ilość ciepła przenieszonego ze strefy ogrzewanej przez wentylację w miesiącu $Q_{v,e}=10^{-3} \cdot H_{ve} \cdot (\theta_i - \theta_e) \cdot t_M$ kWh/m-c	235	217	198	124	46	-11	-25	-21	30	105	192	236
Całkowita ilość ciepła przenieszonego ze strefy ogrzewanej w miesiącu $Q_{ht}=Q_{tr} + Q_{v,e}$ kWh/m-c	430	398	363	227	85	-20	-46	-39	55	193	352	433
Roczne zapotrzebowanie na energię użytkową dla ogrzewania i wentylacji $Q_{H,nd}=\Sigma(Q_{H,nd,n})$, kWh/rok											886,8	

Część budynku					
Zestawienie stref					
Numer strefy	Nazwa strefy	A_f	V	θ_i	Zapotrzebowanie na ciepło $Q_{H,nd}$
	-	m ²	m ³	°C	kWh/rok
1	Strefa O1	274,06	902,77	20,0	24551,64
2	Strefa O2	45,10	83,44	12,0	886,83
Całkowite zapotrzebowanie strefy $\Sigma Q_{H,nd}$ [kWh/rok]					25438,47

4) Tabela zbiorcza sezonowego zapotrzebowania na ciepłą wodę $Q_{W,nd}$

Obliczenia instalacja ciepłej wody użytkowej		
Część budynku		
Ciepło właściwe wody, c_w	4,19	kJ/(kg·K)
Gęstość wody, ρ_w	1000	kg/m ³
Temperatura ciepłej wody, θ_w	55	°C
Temperatura zimnej wody, θ_o	10	°C
Współczynnik korekcyjny, k_R	0,70	-
Powierzchnia o regulowanej temperaturze, A_f	319,16	m ²
Jednostkowe dobowe zużycie ciepłej wody, V_w	0,35	dm ³ /(m ² ·dzień)
Roczna energia użytkowa do przygotowania c.w.u., $Q_{W,nd}$	1283,60	kWh/rok

5) Tabela zbiorcza sezonowego zapotrzebowania na chłód $Q_{C,nd}$ dla każdej strefy

Nie dotyczy

6) Tabela zbiorcza sprawności systemu ogrzewania i wentylacji

Część budynku		
Nazwa źródła	Kocioł gazowy zlokalizowany w sąsiednim budynku	
Nr źródła	1	-
Udział procentowy	100	%
Rodzaj nośnika energii	Miejskowe wytwarzanie energii w budynku - Gaz ziemny	
Współczynnik W_H	1,10	-
Współczynnik W_{el}	3,00	-
Energia użytkowa $Q_{H,nd}$	25438,47	kWh/rok
Wybrany wariant wytwarzania	Kotły gazowe kondensacyjne (70/55°C) o mocy nominalnej powyżej 50 do 120 kW	
Sprawność wytwarzania $\eta_{H,g}$	0,92	-
Wybrany wariant regulacji	Ogrzewanie wodne z grzejnikami członowymi lub płytowymi w przypadku regulacji centralnej i miejscowej z zaworem termostatycznym o działaniu proporcjonalnym z zakresem proporcjonalności P-1K	
Sprawność regulacji $\eta_{H,e}$	0,89	-
Wybrany wariant przesyłu	C.o. wodne z lokalnego źródła ciepła usytuowanego w ogrzewanym budynku z zaizolowanymi przewodami, armaturą i urządzeniami, które są zainstalowane w przestrzeni nieogrzewanej	
Sprawność przesyłu $\eta_{H,d}$	0,90	-
Wybrany wariant akumulacji	System ogrzewania bez zasobnika ciepła	
Sprawność akumulacji $\eta_{H,s}$	1,00	-
Całkowita sprawność systemu zasilania i-tego nośnika $\eta_{H,tot}$	0,74	-
Energia na urządzenia pomocnicze $E_{el,pom,H\%}$	585,61	kWh/rok

7) Tabela zbiorcza sprawności systemu przygotowania ciepłej wody

Część budynku		
Nazwa źródła	Elektryczny podgrzewacz akumulacyjny	
Nr źródła	1	-
Udział procentowy	100,00	%
Rodzaj nośnika energii	Sieć elektroenergetyczna systemowa - Energia elektryczna	
Współczynnik W_w	3,00	-
Współczynnik W_{el}	3,00	-
Energia użytkowa $Q_{W,nd}$	1283,60	kWh/rok
Wybrany wariant wytwarzania	Elektryczny podgrzewacz akumulacyjny (z zasobnikiem ciepłej wody użytkowej bez strat)	
Sprawność wytwarzania $\eta_{W,g}$	0,96	-
Wybrany wariant przesyłu	Miejscowe podgrzewanie wody - systemy bez obiegów cyrkulacyjnych	
Rodzaj przesyłu ciepłej wody	Podgrzewanie wody dla grupy punktów poboru w jednym lokalu mieszkalnym	
Sprawność przesyłu $\eta_{W,d}$	0,80	-
Wybrany wariant akumulacji	Zasobnik ciepłej wody użytkowej wyprodukowany po 2005 r.	
Sprawność akumulacji $\eta_{W,s}$	0,85	-
Całkowita sprawność systemu zasilania i-tego nośnika $\eta_{W,tot}$	0,65	-
Energia na urządzenia pomocnicze $E_{el,pom,W\%}$	0,00	kWh/rok

8) Tabela zbiorcza sprawności systemu chłodzenia

Nie dotyczy

9) Tabela zbiorcza sprawności systemu oświetlenia

Część budynku		
Nazwa źródła	Nowe źródło światła	
Nr źródła	1	-
Rodzaj nośnika energii	Energia elektryczna - produkcja mieszana	
Współczynnik W_L	3,00	
Współczynnik W_{el}	3,00	-
Energia użytkowa $E_{l,i\%}$	7365,36	kWh/rok
Powierzchnia użytkowa grupy pomieszczeń A_r	274,06	m ²
Czas użytkowania oświetlenia dzień t_D	2250,00	h/rok
Czas użytkowania oświetlenia noc t_N	250,00	h/rok
Rodzaj regulacji	Ręczny łącznik włączenie/wyłączenie	
Wpływ światła dziennego F_D	1,00	-
Rodzaj regulacji	Ręczna	
Wpływ nieobecności pracowników F_o	1,00	-
Regulacja prowadzona do utrzymania oświetlenia na wymaganym poziomie	Nie	
Współczynnik obciążenia natężenia oświetlenia F_c	1,00	-
Energia na urządzenia pomocnicze $E_{el,pom,L\%}$	-	kWh/rok

10) Tabela zbiorcza wyników energii użytkowej, końcowej i pierwotnej

Część budynku				
Ogrzewanie i wentylacja				
Nr źródła	Nazwa źródła	$Q_{U,H}$ kWh/rok	$Q_{K,H}$ kWh/rok	$Q_{P,H}$ kWh/rok
1	Kocioł gazowy zlokalizowany w sąsiednim budynku	25438,47	34519,99	39728,81
Suma		25438,47	34519,99	39728,81
Przygotowanie ciepłej wody				
Nr źródła	Nazwa źródła	$Q_{U,W}$ kWh/rok	$Q_{K,W}$ kWh/rok	$Q_{P,W}$ kWh/rok
1	Elektryczny podgrzewacz akumulacyjny	1283,60	1966,29	5898,88
Suma		1283,60	1966,29	5898,88
Oświetlenie wbudowane				
Nr źródła	Nazwa źródła	$Q_{U,L}$ kWh/rok	$Q_{K,L}$ kWh/rok	$Q_{P,L}$ kWh/rok
1	Nowe źródło światła	-	7365,36	22096,09
Suma		-	7365,36	22096,09
Chłodzenie				
Nr źródła	Nazwa źródła	$Q_{U,C}$ kWh/rok	$Q_{K,C}$ kWh/rok	$Q_{P,C}$ kWh/rok
1	Nowe źródło chłodzenia	0,00	-	-
Suma		0,00	-	-
Zestawienie energii użytkowej $EU=(Q_{U,H}+Q_{U,W}) / A_f$			83,73	kWh/(m ² ·rok)
Zestawienie energii końcowej $EK=(Q_{K,H}+Q_{K,W}+Q_{K,L}+E_{el,pom}) / A_f$			139,23	kWh/(m ² ·rok)
Zestawienie energii pierwotnej $Q_P=Q_{P,H}+Q_{P,W}+Q_{P,L}+Q_{P,C}$			-	kWh/rok
Roczny wskaźnik obliczeniowy zapotrzebowania na nieodnawialną energię pierwotną na cele ogrzewania, wentylacji i przygotowania ciepłej wody oraz chłodzenia $EP=Q_P/A_f$			-	kWh/(m ² ·rok)

Budynek referencyjny wg WT2021			
Powierzchnia użytkowa ogrzewanego budynku	A_f	319,16	m ²
Powierzchnia użytkowa chłodzonego budynku	$A_{f,C}$	0,00	m ²
Częstkowa maksymalna wartość wskaźnika EP na potrzeby ogrzewania, wentylacji oraz przygotowania ciepłej wody użytkowej	EP_{H+W}	45,00	kWh/(m ² ·rok)
Częstkowa maksymalna wartość wskaźnika EP na potrzeby chłodzenia	ΔEP_C	0,00	kWh/(m ² ·rok)
Częstkowa maksymalna wartość wskaźnika EP na potrzeby oświetlenia	ΔEP_L	50,00	kWh/(m ² ·rok)
Maksymalną wartość wskaźnika EP określającego roczne obliczeniowe zapotrzebowanie budynku na nieodnawialną energię pierwotną do ogrzewania, wentylacji, chłodzenia, przygotowania ciepłej wody użytkowej oraz oświetlenia	EP_{max}	95,00	kWh/(m ² ·rok)

Sprawdzenie warunku na EP			
EP kWh/(m ² ·rok)		EP_{max} kWh/(m ² ·rok)	Uwagi
211,41	<	95,00	Warunek niespełniony

11) Wyliczenia dla budynku wielofunkcyjnego

Dane zbiorcze ze stref budynku			
Powierzchnia ogrzewana całości budynku	A_f	319,16	m ²
Grupa: Część budynku			
Roczny wskaźnik obliczeniowy zapotrzebowania na nieodnawialną energię pierwotną na cele ogrzewania, wentylacji i przygotowania ciepłej wody oraz chłodzenia	EP	211,41	kWh/(m ² ·rok)
Maksymalna wartość rocznego wskaźnika obliczeniowego zapotrzebowania na nieodnawialną energię pierwotną do ogrzewania, wentylacji i przygotowania ciepłej wody oraz chłodzenia	EP_{max}	95,00	kWh/(m ² ·rok)
Średnioważony współczynnik EP_m			
Roczny wskaźnik obliczeniowy zapotrzebowania na nieodnawialną energię pierwotną na cele ogrzewania, wentylacji i przygotowania ciepłej wody oraz chłodzenia	EP_m	211,41	kWh/(m ² ·rok)
Maksymalna wartość rocznego wskaźnika obliczeniowego zapotrzebowania na nieodnawialną energię pierwotną do ogrzewania, wentylacji i przygotowania ciepłej wody oraz chłodzenia	$EP_{m,max}$	95,00	kWh/(m ² ·rok)
Roczny wskaźnik obliczeniowy zapotrzebowania na energię końcową do ogrzewania, wentylacji i przygotowania ciepłej wody oraz chłodzenia	EK_m	139,23	kWh/(m ² ·rok)

Sprawdzenie warunku na EP			
EP kWh/(m ² ·rok)		EP_{max} kWh/(m ² ·rok)	Uwagi
211,41	<	Brak wymagań	Budynek istniejący podlegający przebudowie i rozbudowie

10) Sprawdzenie warunków granicznych wg WT2021

Analiza charakterystyki cieplnej projektowanego budynku została wykonana zgodnie z przepisami ustawy z dnia 7 lipca 1994 r - Prawo budowlane [Dz. U. z 2020 r. poz. 1333, z późn. zm.) oraz rozporządzenia Ministra Infrastruktury z dnia 27 lutego 2015r w sprawie metodologii obliczania charakterystyki energetycznej budynku i lokalu mieszkalnego lub części budynku stanowiącej samodzielną całość techniczno-użytkową oraz sposobu sporządzania i wzorów świadectw charakterystyki energetycznej.

Stwierdzenie dotrzymania wymagań wg WT 2021.

- a) Wymagany współczynnik przenikalności cieplnej przegród zewnętrznych projektowanego budynku

Projektowany budynek spełnia powyższy warunek dla wszystkich przegród przebudowywanych i nowych zgodnie z punktem 1 niniejszego opracowania.

- b) Zapotrzebowanie na energię pierwotną E_p – nie podlega sprawdzeniu

Dla budynku podlegającego przebudowie wymagania minimalne w zakresie wskaźnika EP uznaje się za spełnione jeżeli przegrody oraz wyposażenie techniczne budynku podlegające przebudowie odpowiadają przynajmniej wymaganiom izolacyjności cieplnej – podpunkt a.

Z powyższej analizy wynika, że projektowany budynek spełnia wymagane warunki zgodnie z rozporządzeniem Ministra Infrastruktury z dnia 12 kwietnia 2002 r. w sprawie warunków technicznych, jakim powinny odpowiadać budynki i ich usytuowanie (t.j. Dz. U. z 2022 r. poz. 1225)..

Analiza możliwości racjonalnego wykorzystania systemów alternatywnych zaopatrzenia w energię i ciepło

Załącznik do charakterystyki energetycznej

Ostrów Wlkp. 2023 r.

ANALIZA ALTERNATYWNYCH MOŻLIWOŚCI

1) Występujące nośniki energii

Na terenie inwestycji występują następujące nośniki energii

- Gaz z butli
- Gaz ziemny
- Energia elektryczna
- Energia odnawialna
- Paliwa stałe
- Biomasa

2) Alternatywne sposoby zasilania wraz z wyborem do analizy

W ramach wstępnej analizy rozważono następujące sposoby zasilania

- Pompa ciepła gruntowa
- Pompa ciepła powietrze-woda
- Instalacja solarna
- Biomasa
- Systemy połączone biomasa z pompą ciepła

Jako źródło alternatywne wybrano pompę ciepła powietrze-woda.

3) Opis rozwiązań i uzasadnienie

- **System centralnego ogrzewania**

Wykonana analiza na etapie projektowym oraz założenia ekonomiczne i zakres opracowania spowodowały iż źródłem ciepła na budynku będzie kocioł gazowy zainstalowany w sąsiednim budynku.

- **Dla systemu ciepłej wody użytkowej**

Ciepła woda wytwarzana będzie bez zmian z podgrzewaczy elektrycznych pojemnościowych.

4) Uzasadnienie zastosowanego rozwiązania

Analiza środowiskowa wskazuje iż projektowane źródło będzie korzystniejsze dla środowiska.

Analiza porównawcza

Spis treści:

1. Dane budynku
2. Zestawienie rocznego zapotrzebowania na energię użytkową
3. Dostępne nośniki energii
4. Warunki przyłączenia do sieci zewnętrznych
5. Opis systemów zapotrzebowania w energię do analizy porównawczej
6. Charakterystyka źródeł energii systemu ogrzewania i wentylacji
7. Charakterystyka źródeł energii systemu przygotowania ciepłej wody
8. Wykresy porównawcze zużycia nośników energii
9. Wskaźniki emisji zanieczyszczeń poszczególnych systemów i nośników energii
10. Emisja zanieczyszczeń poszczególnych systemów w budynku
11. Obliczenia optymalizacyjno-porównawcze emisji zanieczyszczeń (aspekt środowiskowy)
12. Wyniki analizy porównawczej i wybór systemu zapotrzebowania na energię

1. Dane budynku

1.1. Dane adresowe:

Nazwa budynku: Budynek Użyteczności Publicznej

Adres budynku: Nowe Skalmierzyce, dz.nr.108-3

Nazwa inwestora: Gmina Nowe Skalmierzyce

Adres inwestora: Skalmierzyce, ul. Ostrowska 8

1.2. Dane geometryczne:

Przeznaczenie budynku: Użyteczności publicznej

Strefa klimatyczna: II

Stacja meteorologiczna: Kalisz

Powierzchnia zabudowy $A_z=273,40 \text{ m}^2$

Powierzchnia o regulowanej temperaturze $A_r=319,16 \text{ m}^2$

Powierzchnia netto $A=504,99 \text{ m}^2$

Kubatura po obrysie zewnętrznym $V_e=1470,39 \text{ m}^3$

Kubatura ogrzewana budynku $V=986,20 \text{ m}^3$

Liczba kondygnacji: 2

2. Zestawienie rocznego zapotrzebowania na energię użytkową

2.1. Zestawienie rocznego zapotrzebowania na energię użytkową dla systemu ogrzewania i wentylacji

2.1.1. System projektowany

Lp.	Rodzaj paliwa	Udział %	$Q_{H,nd}$ [kWh/rok]
1	Miejscowe wytwarzanie energii w budynku - Gaz ziemny	100,0	25438,5

2.1.2. System alternatywny

Lp.	Rodzaj paliwa	Udział %	$Q_{H,nd}$ [kWh/rok]
1	Sieć elektroenergetyczna systemowa - Energia elektryczna	100,0	25438,5

2.2. Zestawienie rocznego zapotrzebowania na energię użytkową dla systemu przygotowania ciepłej wody

2.2.1. System projektowany

Lp.	Rodzaj paliwa	Udział %	$Q_{W,nd}$ [kWh/rok]
1	Sieć elektroenergetyczna systemowa - Energia elektryczna	100,0	1283,6

2.2.2. System alternatywny

Lp.	Rodzaj paliwa	Udział %	$Q_{W,nd}$ [kWh/rok]
1	Sieć elektroenergetyczna systemowa - Energia elektryczna	100,0	1283,6

3. Dostępne nośniki energii

...

4. Warunki przyłączenia do sieci zewnętrznych

...

5. Opis systemów zapotrzebowania w energię do analizy porównawczej

Lp.	Nazwa systemu	Wariant projektowany
1	System ogrzewania	TAK, Źródło o udziale procentowym 100,00 % na paliwo Sieć elektroenergetyczna systemowa - Energia elektryczna, typu Pompy ciepła powietrze/woda, sprężarkowe, napędzane elektrycznie (55/45°C) o sprawności wytwarzania $\eta_{H,g}=2,60$, Ogrzewanie wodne z grzejn. członów. lub płytow. w przyp. regul. central.i miejsc. z zaworem termost. P-1K o sprawności regulacji $\eta_{H,e}=0,89$, C.o. z lokal. źródła ciepła usytuow. w ogrzew. budynku z zaizolow. przewodami, armaturą i urządzen. w przestrz. ogrzew. o sprawności przesyłu $\eta_{H,d}=0,96$, Zasobnik ciepła w systemie ogrzewania o parametrach 55/45°C w przestrzeni ogrzewanej o sprawności akumulacji $\eta_{H,s}=0,95$.
2	System wentylacji	TAK; wentylacja mechaniczna nawiewno-wywiewna działająca okresowo o strumieniach powietrza $V_{ve1}=677,08$ m³/h, $V_{ve2}=36,11$ m³/h, $V_{ve3}=0,00$ m³/h, $V_{ve4}=180,55$ m³/h;

		wentylacja mechaniczna wywiewna działająca okresowo o strumieniach powietrza $V_{ve1}=90,92 \text{ m}^3/\text{h}$, $V_{ve2}=0,03 \text{ m}^3/\text{h}$, $V_{ve3}=9,09 \text{ m}^3/\text{h}$, $V_{ve4}=16,69 \text{ m}^3/\text{h}$.
3	System ciepłej wody	TAK, Źródło o udziale procentowym 100,00 % na paliwo Sieć elektroenergetyczna systemowa - Energia elektryczna, typu Pompa ciepła typu powietrze/woda, sprężarkowa, napędzana elektrycznie o sprawności wytwarzania $\eta_{W,g}=2,60$, Centr. podgrz. wody — sys. z obiegami cyrkulacyjnymi z ograniczeniem pracy, z pionami instalacyjnymi i przew. rozprowadzającymi izolowanymi o sprawności przesyłu $\eta_{W,d}=0,80$, Zasobnik ciepłej wody użytkowej wyprodukowany po 2005 r. o sprawności akumulacji $\eta_{W,s}=0,85$.

6. Charakterystyka źródeł energii systemu ogrzewania i wentylacji

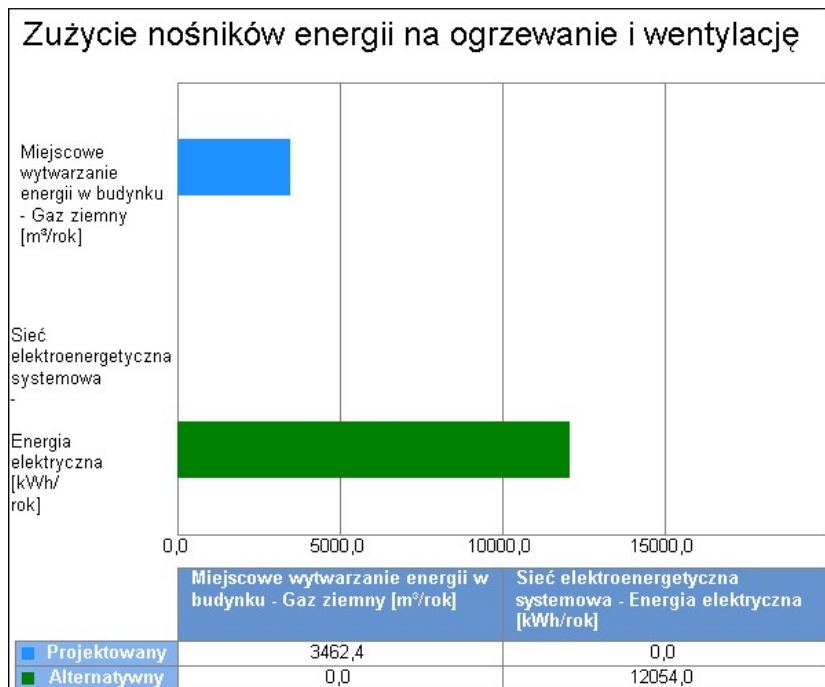
6.1. Budynek projektowany

Rodzaj paliwa	Udział %	$\eta_{H,tot}$	H_u	Jedn.	$Q_{K,H}$ [kWh/rok]	Zużycie paliwa B	Jedn.
Miejscowe wytwarzanie energii w budynku - Gaz ziemny	100,0	0,74	9,97	kWh/m ³	34520,0	3462,4	m ³ /rok

6.2. Budynek z alternatywnymi źródłami

Rodzaj paliwa	Udział %	$\eta_{H,tot}$	H_u	Jedn.	$Q_{K,H}$ [kWh/rok]	Zużycie paliwa B	Jedn.
Sieć elektroenergetyczna systemowa - Energia elektryczna	100,0	2,11	1,00	kWh/kWh	12054,0	12054,0	kWh/rok

6.3. Porównanie zużycia nośników energii dla budynku projektowanego i źródła alternatywnego



Wykres porównawczy zużycia nośników energii dla systemu ogrzewania i wentylacji

7. Charakterystyka źródeł energii systemu przygotowania ciepłej wody

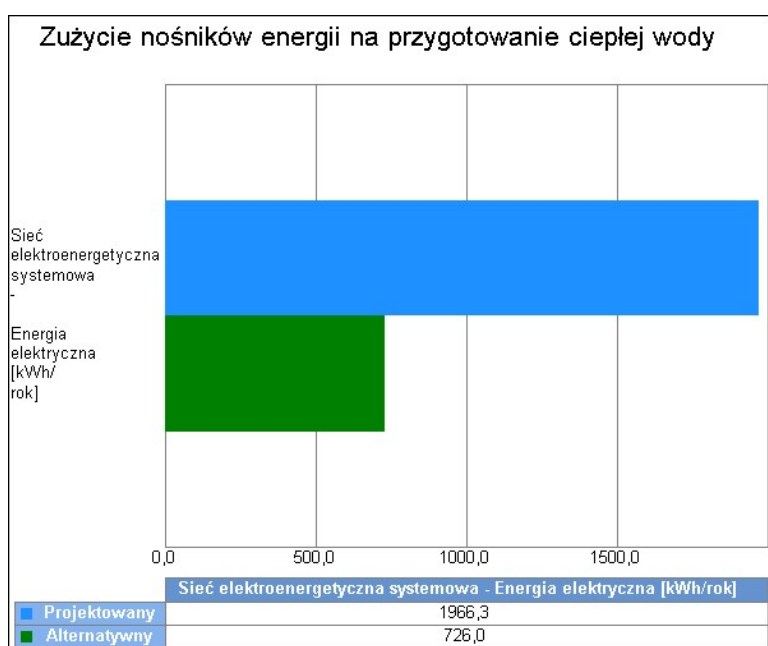
7.1. Budynek projektowany

Rodzaj paliwa	Udział %	$\eta_{w,tot}$	H_u	Jedn.	$Q_{k,w}$ [kWh/rok]	Zużycie paliwa B	Jedn.
Sieć elektroenergetyczna systemowa - Energia elektryczna	100,0	0,65	1,00	kWh/kWh	1966,3	1966,3	kWh/rok

7.2. Budynek z alternatywnymi źródłami

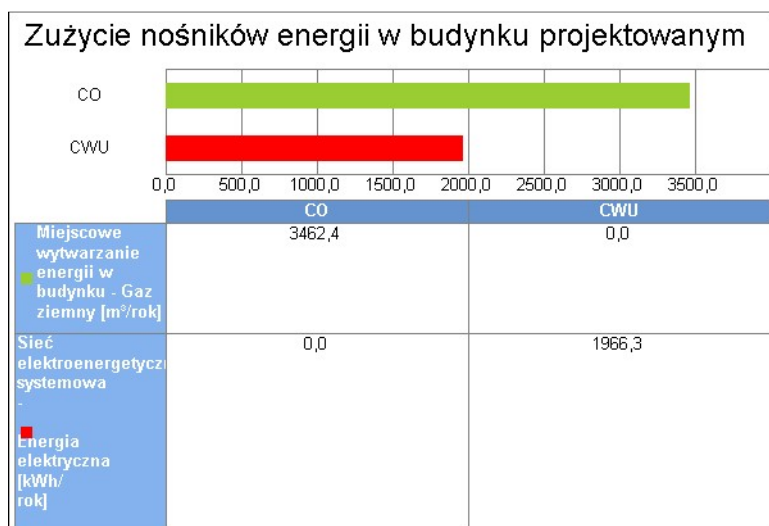
Rodzaj paliwa	Udział %	$\eta_{w,tot}$	H_u	Jedn.	$Q_{k,w}$ [kWh/rok]	Zużycie paliwa B	Jedn.
Sieć elektroenergetyczna systemowa - Energia elektryczna	100,0	1,77	1,00	kWh/kWh	726,0	726,0	kWh/rok

7.3. Porównanie zużycia nośników energii dla budynku projektowanego i źródła alternatywnego



Wykres porównawczy zużycia nośników energii dla systemu przygotowania ciepłej wody

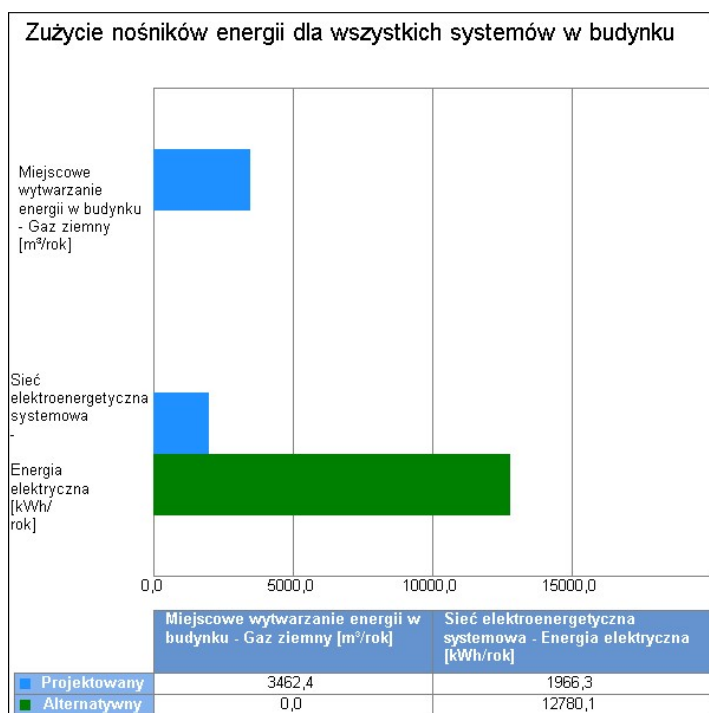
8. Wykresy porównawcze zużycia nośników energii



Wykres zużycia nośników energii dla wszystkich systemów w budynku projektowanym



Wykres zużycia nośników energii dla wszystkich systemów w budynku ze źródłami alternatywnymi



Wykres porównawczy zużycia nośników energii dla wszystkich systemów w budynku
 9. Wskaźniki emisji zanieczyszczeń poszczególnych systemów i nośników energii
 Informacje uzupełniające...

9.1. Budynek projektowany

System ogrzewania i wentylacji								
Rodzaj paliwa	Jedn.	SO ₂	NO _x	CO	CO ₂	PYŁ	SADZA	B-a-P
Miejscowe wytwarzanie energii w budynku - Gaz ziemny	kg/1,0E6·m ³	0,000120	1280,000 000	360,0000 00	1964000, 000000	15,00000 0	0,000000	0,000000
System przygotowania ciepłej wody								
Rodzaj paliwa	Jedn.	SO ₂	NO _x	CO	CO ₂	PYŁ	SADZA	B-a-P
Sieć elektroenergetyczna systemowa - Energia elektryczna	kg/kWh	0,009100	0,002300	0,000690	0,812000	0,001500	0,000003	0,000000

9.2. Budynek z alternatywnymi źródłami

System ogrzewania i wentylacji								
Rodzaj paliwa	Jedn.	SO ₂	NO _x	CO	CO ₂	PYŁ	SADZA	B-a-P
Sieć elektroenergetyczna systemowa - Energia elektryczna	kg/kWh	0,009100	0,002300	0,000690	0,812000	0,001500	0,000003	0,000000
System przygotowania ciepłej wody								
Rodzaj paliwa	Jedn.	SO ₂	NO _x	CO	CO ₂	PYŁ	SADZA	B-a-P
Sieć elektroenergetyczna systemowa - Energia elektryczna	kg/kWh	0,009100	0,002300	0,000690	0,812000	0,001500	0,000003	0,000000

10. Emisja zanieczyszczeń poszczególnych systemów w budynku

10.1. Budynek projektowany

System	Jedn.	SO ₂	NO _x	CO	CO ₂	PYŁ	SADZA	B-a-P
System ogrzewania i wentylacji	kg/rok	0,0000	4,4319	1,2465	6800,127 1	0,0519	0,0000	0,0000
System przygotowania ciepłej wody	kg/rok	17,8933	4,5225	1,3567	1596,630 9	2,9494	0,0053	0,0001
Całkowita emisja w budynku	Jedn.	SO ₂	NO _x	CO	CO ₂	PYŁ	SADZA	B-a-P
	kg/rok	17,8933	8,9543	2,6032	8396,758 0	3,0014	0,0053	0,0001

10.2. Budynek z alternatywnymi źródłami

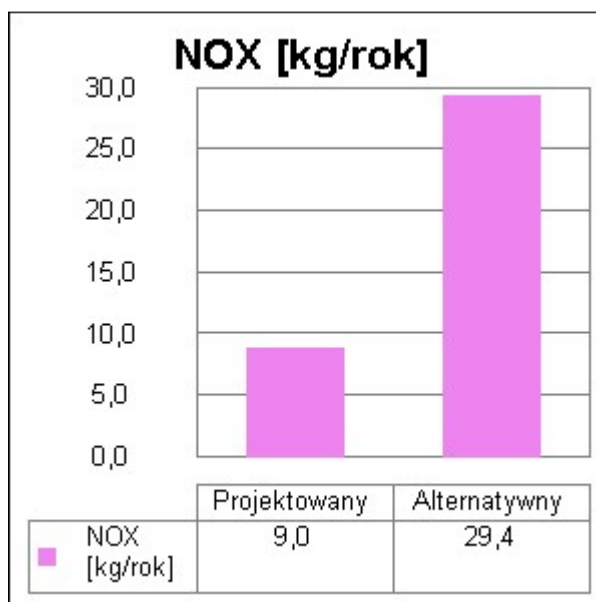
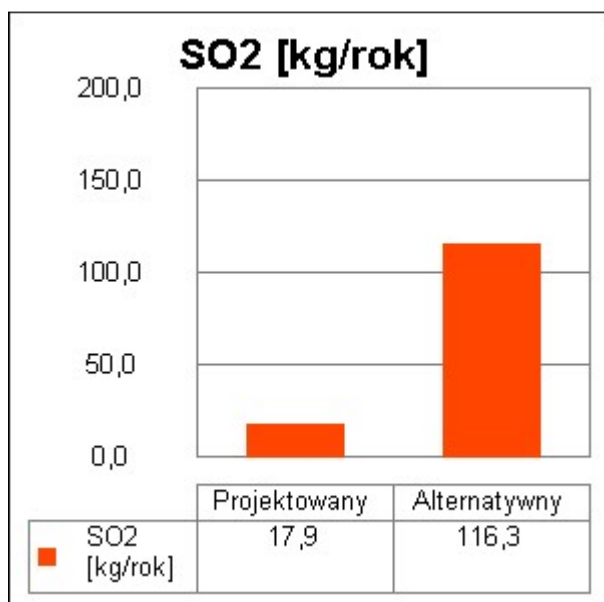
System	Jedn.	SO ₂	NO _x	CO	CO ₂	PYŁ	SADZA	B-a-P
System ogrzewania i wentylacji	kg/rok	109,6918	27,7243	8,3173	9787,885 6	18,0811	0,0325	0,0007
System przygotowania ciepłej wody	kg/rok	6,6067	1,6698	0,5010	589,5252	1,0890	0,0020	0,0000
Całkowita emisja w budynku	Jedn.	SO ₂	NO _x	CO	CO ₂	PYŁ	SADZA	B-a-P
	kg/rok	116,2986	29,3941	8,8182	10377,41 09	19,1701	0,0345	0,0007

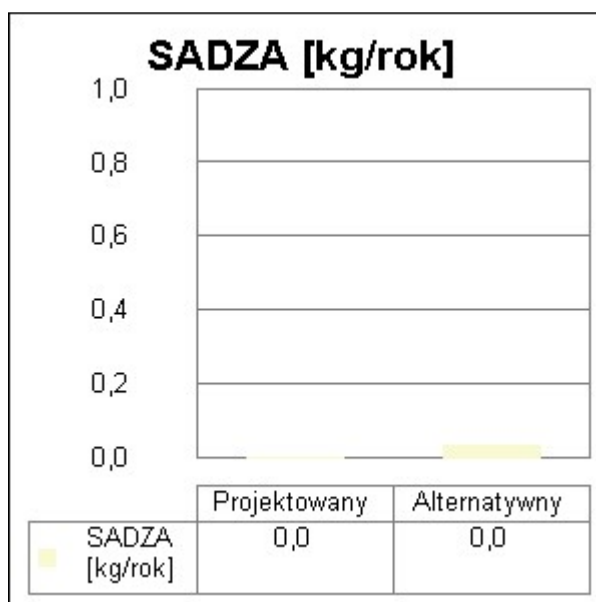
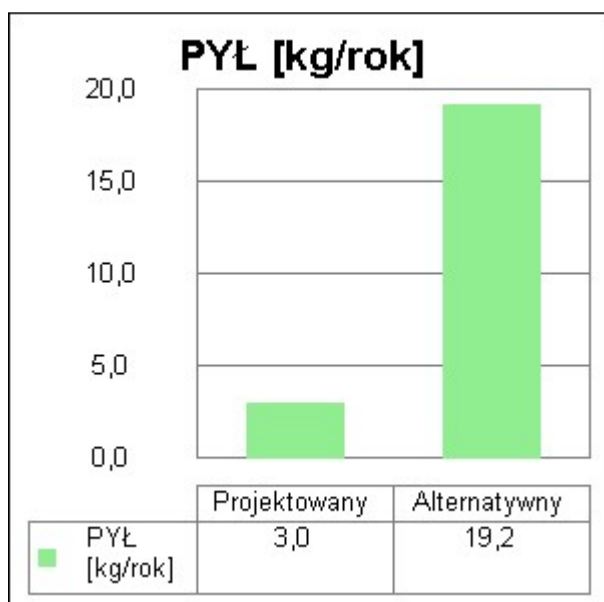
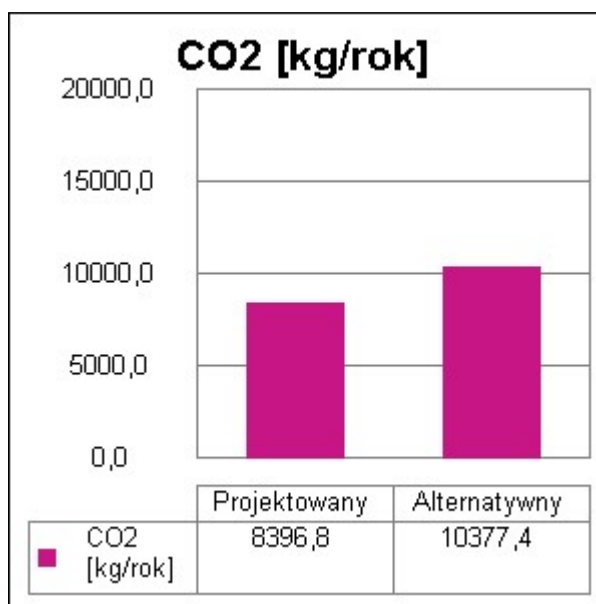
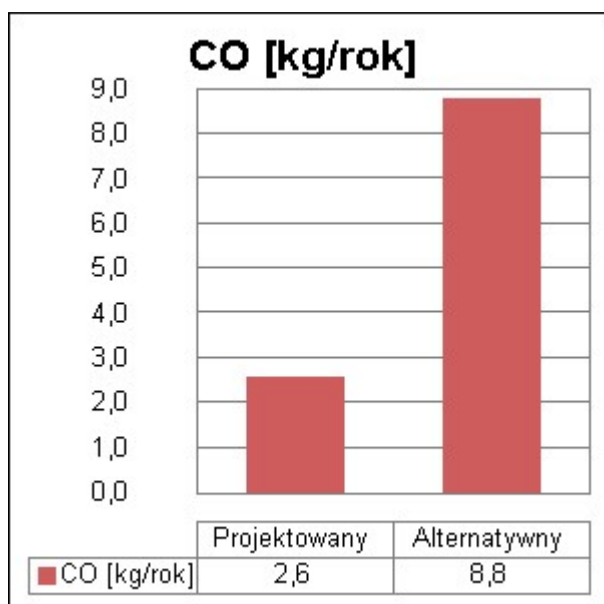
11. Bezpośredni efekt ekologiczny

11.1. Tabela bezpośredniego efektu ekologicznego

Emitowane zanieczyszczenie	Budynek projektowany [kg/rok]	Budynek z alternatywnymi źródłami [kg/rok]	Efekt ekologiczny[kg/rok]	Redukcja emisji [%]
SO ₂	17,893277	116,298570	-98,405293	-549,96
NO _x	8,954331	29,394144	-20,439813	-228,27
CO	2,603202	8,818243	-6,215041	-238,75
CO ₂	8396,757976	10377,410853	-1980,652877	-23,59
PYŁ	3,001377	19,170094	-16,168717	-538,71
SADZA	0,005309	0,034506	-0,029197	-549,96
B-a-P	0,000106	0,000690	-0,000584	-549,96

11.2. Wykresy bezpośredniego efektu ekologicznego





12. Wyniki analizy porównawczej i wybór systemu zaopatrzenia w energię

12.1. Obliczenia współczynników toksyczności

Wartości współczynnika toksyczności zanieczyszczeń obliczono w oparciu o Rozporządzenie Ministerstwa Środowiska z dnia 26.01.2010 r. w sprawie wartości odniesienia dla niektórych substancji w powietrzu (Dz.U. nr 87/2010 poz.16).

$$K_{SO_2} = e_{SO_2}/e_t = 20/20 \text{ mg/m}^3 = 1,00$$

$$K_{NO_x} = e_{SO_2}/e_t = 20/40 \text{ mg/m}^3 = 0,50$$

$$K_{CO} = e_{SO_2}/e_t = \text{brak wymagań}$$

$$K_{CO_2} = e_{SO_2}/e_t = \text{brak wymagań}$$

$$K_{PYŁ} = e_{SO_2}/e_t = 20/40 \text{ mg/m}^3 = 0,50$$

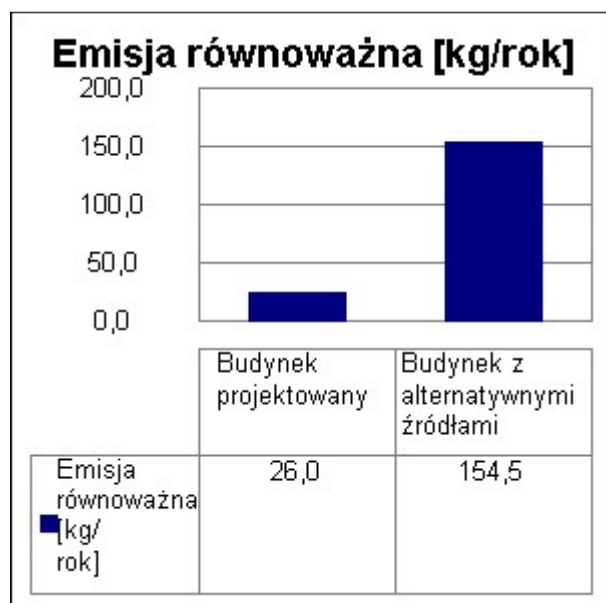
$$K_{SADZA} = e_{SO_2}/e_t = 20/8 \text{ mg/m}^3 = 2,50$$

$$K_{B-a-P} = e_{SO_2}/e_t = 20/0,001 \text{ mg/m}^3 = 20000,00$$

12.2. Tabela emisji równoważnej

Emitowane zanieczyszczenia	Współczynnik toksyczności K	Emisja - Budynek projektowany [kg/rok]	Emisja - Budynek z alternatywnymi źródłami [kg/rok]	Emisja równoważna - Budynek projektowany [kg/rok]	Emisja równoważna - Budynek z alternatywnymi źródłami [kg/rok]
SO ₂	1,00	17,893277	116,298570	17,893277	116,298570
NO _x	0,50	8,954331	29,394144	4,477166	14,697072
PYŁ	0,50	3,001377	19,170094	1,500689	9,585047
SADZA	2,50	0,005309	0,034506	0,013272	0,086265
B-a-P	20000,00	0,000106	0,000690	2,123598	13,802468
Łączna emisja równoważna				26,008002	154,469422

12.3. Wykres emisji równoważnej



12.4. Wybór systemu

Na podstawie powyższej analizy środowiskowej wariantem optymalnym jest wariant projektowany. Efekt środowiskowy wyrażony w emisji równoważnej jest o 493,9% (128,46 kg/rok) korzystniejszym niż wariant alternatywny.